



شبیه‌سازی گرمایش یونسfer در مختصات جغرافیایی ایران با استفاده از مدل SAMI2

حمیدرضا میرزایی^{*}، رضا اسدزاده^۱، هدی مهدوی^۲، امیر محمدیها^۳، و مسلم کاظمی^۴

۱. پژوهشکده فیزیک و شتابگرها، پژوهشگاه علوم و فنون هسته‌ای، ۸۳۶-۱۴۳۹۵، تهران

۲. دانشکده فیزیک و انرژی، دانشگاه امیرکبیر، تهران

۳. گروه فیزیک اتمی و مولکولی دانشگاه مازندران، دانشگاه مازندران، بابلسر

۴. دانشکده علوم و فنون دریائی، دانشگاه هرمزگان، بندرعباس

پست الکترونیکی: hamidreza.mirzaei@aut.ac.ir

(دریافت مقاله: ۱۴۰۱/۱/۱۴؛ دریافت نسخه نهایی: ۱۴۰۱/۱/۳۰)

چکیده

در این مقاله اثرات گرمایش ناشی از یک منبع مصنوعی با استفاده از مدل دو بعدی SAMI2 بررسی می‌شود. یک منبع گرمایش موضعی گوسی در معادله دمای الکترون به منظور مدل سازی گرمایش موج رادیویی یونسfer در نظر گرفته می‌شود. اثرات گرمایش به عنوان تابعی از زمان گرمایش، شدت منبع تابش، ارتفاع مرکز گرمایش و تغییر مختصه عرض جغرافیایی گرم کننده در نواحی مختلف ایران بررسی می‌شود. نتایج شبیه‌سازی‌ها پیشنهاد می‌کنند که ارتفاع مرکز گرمایش و شدت منبع تابشی اثر قابل ملاحظه‌ای بر ایجاد اختلالات در توزیع چگالی و دمای الکترون در یونسfer دارند. این اختلالات در محل گرم کننده و اثر آن در نقاط متناظر در نیم‌کره مقابل نیز قابل مشاهده است. با افزایش ارتفاع حتی در زمان‌های ابتدایی روشن کردن گرم کننده، شدت دما در ناحیه گرم کننده افزایش یافته و با گذشت زمان رشد قابل توجهی می‌یابد. در شدت‌های پایین منبع تابشی، دمای الکترون حتی در ناحیه گرم کننده نیز با گذشت زمان افزایش قابل ملاحظه‌ای نمی‌یابد، این در حالی است که با افزایش توان ورودی، دمای الکترون پس از ۳۰ دقیقه روشن کردن گرم کننده، در ناحیه گرمایش افزایش می‌یابد. اثر گرمایش همچنین به صورت اختلال در پریندهای چگالی مشاهده می‌شود که نشان دهنده کاهش چگالی و شکل‌گیری مجرأ (کانال) در ناحیه گرم کننده و افزایش چگالی در نیم‌کره مقابل هستند. نتایج به دست آمده نشان می‌دهند که با تغییر مکان جغرافیایی گرم کننده، در عرض جغرافیایی پایین‌تر، افزایش دما در نقطه گرمایش و در نقاط متناظر در نیم‌کره مقابل شدت بیشتری می‌یابد.

واژه‌های کلیدی: گرمایش یونسfer، مدل SAMI2، پلاسماء، شبیه‌سازی

۱. مقدمه

کننده امواج رادیویی است. شرایط یونسfer می‌تواند به طور قوی بر کیفیت ارتباطات موج رادیویی زمین به زمین در مسافت‌های دور و نیز ماهواره به زمین اثر بگذارد. این یک سامانه پیچیده برای یونسfer است و یونسfer فقط به وسیله فرایندهای رانده

یونسfer بخش مهمی از فضای اطراف زمین است که در آن انتشار امواج رادیویی می‌تواند تحت تأثیر قرار گیرد و منجر به اثرات گوناگونی شود. یونسfer در حقیقت کانال اصلی و حمل

الکترونی می‌تواند منجر به ایجاد کاواک‌های چگالی و افزایش‌هایی در امتداد میدان ژئومغناطیسی شود [۱۲]. مشاهده شده است که گرمایش الکترونی با دفع پلاسمما از ناحیه گرم شده دنبال می‌شود؛ که منجر به شکل‌گیری کاواک می‌شود [۱۲]. گرمایش بسامد بالا در قله F2 یونسfer، می‌تواند یک تپ فشاری در پلاسمای چگال ایجاد کند و به حرکت در امتداد خط میدان مغناطیسی رقیق‌تر محدود شود. واسکو و همکارانش و هویا و همکارانش نشان دادند که تپ فشاری می‌تواند در یونسfer سمت بالا و مگنتوسfer متشر شود؛ هنگام حرکت پلاسمما را دفع و دور کرده و منجر به شکل‌گیری حفره‌ها و نواحی تهی چگالی پلاسمما در راستای میدان مغناطیسی می‌شوند [۱۳ و ۱۴]. این نواحی تهی از پلاسمما می‌توانند به عنوان مجرایی برای امواج ELF، هم با منشاء طبیعی و هم منشأ مصنوعی به صورت زیر استفاده شوند: گرادیان چگالی عمود بر خط میدان مغناطیسی موجب گرادیان ضربی شکست می‌شود. اگر می‌تواند منجر به بازتاب کلی داخلی امواج ELF شود. اگر این گرادیان‌ها به لندازه کافی قوی باشند، موج ELF به طور پیوسته از مرزهای مجرای بازتاب می‌یابد و می‌تواند از یک نقطه انتهایی خط میدان به نقطه دیگر کانال بزند. از این‌رو مجرای تبدیل به یک موج بر در راستای مغناطیسی می‌شود و تحت اصول مشابه با یک کلبل فیبر نوری، از یک نیم کره زمین به نیم کره دیگر عمل می‌کند. مجرای‌های طبیعی در یونسfer بدون هیچ گونه دخالت انسان ایجاد می‌شوند.

امواج پرتوان رادیویی می‌توانند دما و چگالی موضعی الکترون را تغییر دهند و تغییر در رسانندگی پلاسمما، ثابت دی الکتریک و سایر پارامترهای پلاسمایی را القا کنند. گرمایش یونسfer نه تنها از نظر تحقیقات علمی مقدار دارد بلکه اهداف عملی نیز دارد. برای مثال، گرمایش یونسfer پایین‌تر (۵۰-۱۰۰ کیلومتر) می‌تواند منجر به یونیزاسیونی شود که "آینه یونسferی" را برای بازتاب برخی امواج الکترومغناطیسی خاص شکل دهد. گرمایش یونسfer پایینی به وسیله امواج HF با مدولاسیون دامنه می‌تواند به طور مؤثر منابع تابشی از امواج ELF/VLF را تولید کند [۱۵]. گرمایش یونسfer بالایی (۱۵۰-۵۰۰ کیلومتر) می‌تواند

شدۀ مگنتوسfer و خورشید تحت تأثیر قرار نمی‌گیرد [۱ و ۲] بلکه فرایندهای اتمسferی دینامیکی نیز بر آن اثر می‌گذارند. برای مثال رعد و برق می‌تواند یونسfer را گرم سازد و منجر به تغییر دما و چگالی عددی الکترون شود [۳ و ۴]. زمین لرزه‌ها ممکن است آنومالی‌های یونسferی پیش‌لرزه تولید کنند [۵ و ۶]. طوفان‌ها و تنبیادها می‌توانند منجر به افزایش TEC یونسferی شوند [۷]. امواج اتمسferی (سیاره‌ای، گرانش و امواج فروصوتی) که از پایین می‌آیند به طور مستقیم و غیر مستقیم (برای مثال از طریق گرمایش‌های استراتسferی اصلی) بر یونسfer پایین‌تر اثر می‌گذارند [۸ و ۹]. محققین به تحقیق درباره فعالیت خورشیدی، فرایندهای فیزیکی مگنتوسfer و سایر پدیده‌های طبیعی که می‌تواند منجر به اختلالات یونسfer شوند، می‌پردازنند. همزمان به تغییر مصنوعی یونسfer توجه بیشتری می‌شود. به غیر از اختلالات یونسferی، بسیاری از روش‌های مصنوعی نیز می‌توانند منجر به آشفتگی یونسfer شوند [۱۰]. از زمانی که "اثر لکسمبورگ" در سال ۱۹۳۳ یافت شد، سال‌ها است که محققین دریافت‌های ویژگی‌های پرامون یونسfer زمین می‌توانند به وسیله امواج HF پرتوان که از فرستنده‌های زمینی روانه می‌شوند، تغییر کنند. به دلیل آسانی، سرعت و اثر گرمایشی قابل ملاحظه و سازگار با محیط زیست، فرستنده‌های زمینی، یکی از ابزارهای اصلی تغییر یونسfer شدنند. به ویژه پس از دهه ۱۹۷۰، جماهیر شوروی و برخی از کشورهای اروپایی ابزارهای تحقیقاتی بیشتری را برقرار کردند. مشاهده شده است که گرمایش الکترونی به وسیله دفع پلاسمما از ناحیه گرم شده دنبال می‌شود. مشاهدات بسیاری نشان داده‌اند که گرمایش الکترونی قوی در یونسfer می‌تواند به وسیله ابزارهای HF پرتوان مانند هارپ و ایسکت تولید شوند [۱۱]. هارپ در آلسکا بزرگ‌ترین توان و بهره آتنی را دارد (توان مؤثر می‌تواند تا ۱ گیگاوات برسد) و می‌تواند شار انرژی الکترومغناطیسی قوی را ارسال کند تا به طور مؤثر در یونسfer تغییر ایجاد کند.

تغییر یونسfer با استفاده از امواج رادیویی توان بالا، ابزار مهمی برای درک فرایندهای پیچیده مربوط به برهم‌کش موج توان بالا با پلاسماهای است. یک اثر مهم این است که گرمایش

$$\frac{\partial T_e}{\partial t} - \frac{1}{n_e k} b_s^2 \frac{\partial}{\partial s} k_e \frac{\partial T_e}{\partial s} = Q_{en} + Q_{ei} + Q_{phe} + Q_{RF}, \quad (1)$$

عبارت دوم در سمت چپ معادله ۱ عبارت پخشی است، جایی که در آن k_e به عنوان رسانندگی حرارتی الکترون در راستای موازی، k ثابت بولتزمن و b_s مولفه میدان مغناطیسی در جهت میدان است که به مقدار استوایی آن در سطح زمین بدون بعد شده است. هوا و همکارانش رسانش k_e و نرخ های گرمایشی Q_{RF} ، Q_{en} و Q_{ei} را با جزئیات تعیین کرده اند.

ایجاد گرمایش بر یونسfer در کد وارد شود [۱۸].

برای بررسی اثر گرمایش بر یونسfer، کد SAMI2 باید تغییر داده شود. بدین منظور برخی از زیرروال ها در کد اصلاح می شوند. همان گونه که نشان داده شد، عبارت گرمایش خارجی در معادله دمای الکترون در کنار سایر عبارت های گرمایشی اضافه می شود. یکی از اصلاحات انجام شده پیرامون تعریف عبارت گرمایش، به عنوان یک پارامتر در معادله دمای الکترون است. به منظور انجام مدل سازی، جمله گرمایش به صورت گوسی و به شکل زیر در کد تعريف شده است:

$$Q_{RF} = \left(\frac{dT_e}{dt} \right) \exp \left[\frac{-(z-z_0)^2}{\Delta z^2} \right] \exp \left[-(\theta-\theta_0)^2 / \Delta \theta^2 \right], \quad (2)$$

این عبارت در زیرروال دمای الکترون "etemp" در کد SAMI2 اضافه شده است و سپس از زیرروال "tesolv" برای حل معادله استفاده می شود. پارامترهای ζ ، $\Delta\zeta$ ، θ_0 و $\Delta\theta$ به طور دستی در کد وارد می شوند. ζ ارتفاع اولیه مرکز لکه گرم شده، $\Delta\zeta$ گسترش قائم ناحیه گرم شده و $\frac{dT_e}{dt}$ نرخ گرمایش برای الکترون ها است.

۳. نتایج

۱.۱. اثر ارتفاع گرمایش بر توزیع چگالی و دمای الکترون
برای بررسی اثر ارتفاع گرمایش بر نقطه مورد نظر در منطقه خلیج فارس، طول جغرافیایی $E = 53^\circ$ و عرض جغرافیایی $N = 25^\circ$

چگالی الکترون را تغییر دهد، ناحیه متمرکز کننده و غیرمتمرکزی را ایجاد کند و به طور بدی کانال ارتباطی را تغییر یا حتی مختل کند و نیز می تواند موجب ناپایداری های پارامتری و ناپایداری های خودمتمرکز کننده برای ایجاد بی نظمی هایی در امتداد میدان با مقیاس مختلف شود.

از آنجایی که آزمایش گرمایش بسیار گران است و همچنین گرمایش به صورت موضعی و با طول عمر کوتاه همراه است، تمام انواع مدل های عددی با افزایش دانش فیزیک یونسfer توسعه داده شده اند [۱۶].

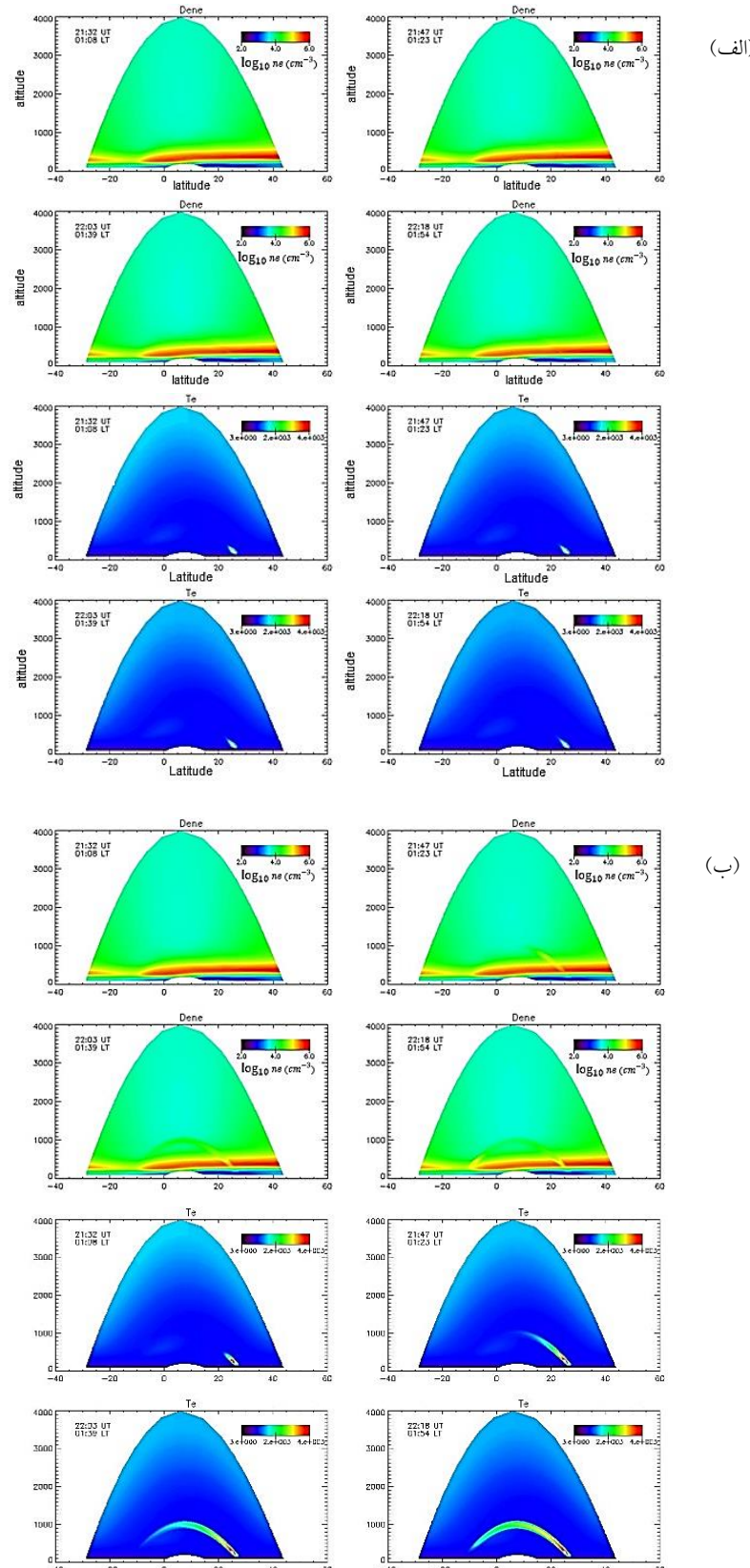
یکی از بررسی های اولیه در این زمینه توسط پرین و همکارانش و با استفاده از کد دو بعدی SAMI2 انجام شد [۱۷]. پس از آن هوا و همکارانش نتایج مطالعه مدل سازی اثر گرمایش یونسfer در Arecibo بر روی یونسfer مزدوج آن را با استفاده از کد دو بعدی SAMI2 گزارش کردند [۱۸].

به دلیل اهمیت اثرات گرمایش مصنوعی یونسfer در انتشار امواج رادیویی و ارتباطات ماهواره ای، در این مقاله اثر گرمایش یونسfer با در نظر گرفتن پارامتر گرمایش مصنوعی، بر چگونگی توزیع چگالی و دمای الکترون در نقاط جغرافیایی مختلف در کشور، با استفاده از کد یونسferی SAMI2 مدل سازی و نتایج به دست آمده بررسی می شوند. پارامترهای مطالعه ما شامل بررسی اثر تغییر شدت منبع گرمایش، ارتفاع اولیه گرمایش و عرض جغرافیایی بر اختلالات چگالی و دما هستند.

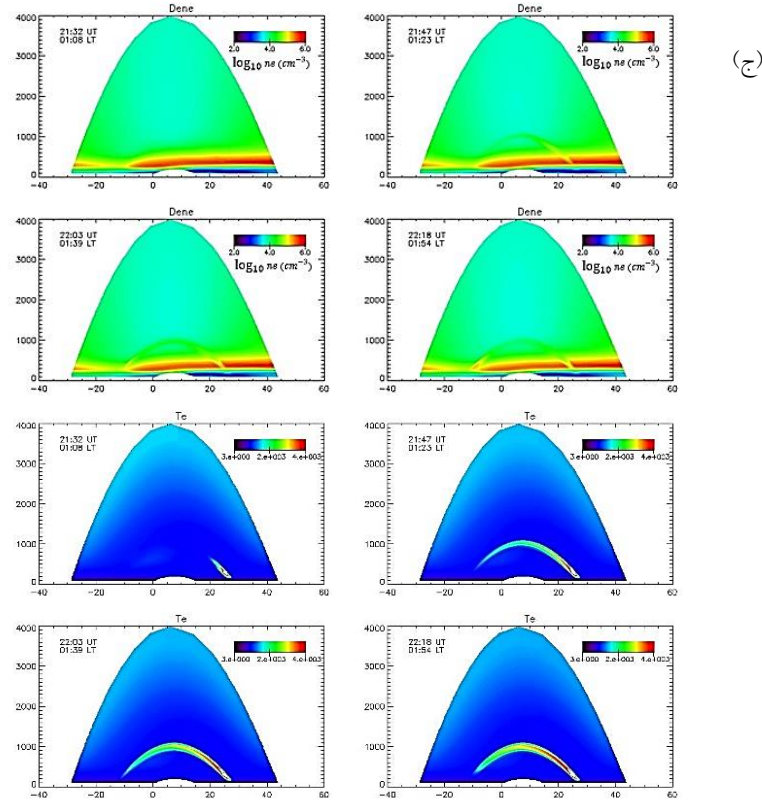
۲. مدل سازی گرمایش یونسfer

مدل یونسferی SAMI2 که در آزمایشگاه تحقیقاتی ناوال توسعه یافت، برای انجام شبیه سازی های گرمایش یونسferی استفاده می شود. SAMI2 هفت گونه یونی H^+ , He^+ , O^+ , NO^+ , N_2^+ , O_2^+ سازی می کند. معادلات پیوستگی و تکانه برای هر گونه یونی حل می شوند؛ همراه با معادله دما که برای الکترون ها و گونه های یونی H^+ , He^+ , O^+ حل می شوند.

معادله دمای الکترون عبارت است از:



شکل ۱. کانتورهای تغییرات دما و چگالی الکترون بر حسب عرض جغرافیایی و ارتفاع، برای گرم کننده واقع در عرض جغرافیایی $N^{\circ} 25$ و طول جغرافیایی $E^{\circ} 53$ و ارتفاع اولیه گرمایش (الف) $z_0 = 25^{\circ}$ km، (ب) $z_0 = 28^{\circ}$ km و (ج) $z_0 = 30^{\circ}$ km



ادامه شکل ۱.

ناحیه گرم کننده در ساعت اولیه پس از روشن کردن گرم کننده قابل مشاهده است. با گذشت زمان، دما در ناحیه گرم کننده افزایش می‌یابد و اثر آن در نیمکره مقابل نیز به صورت مؤثری قابل مشاهده است. افزایش بیشتر ارتفاع ناحیه گرمایش نشان دهنده افزایش شدت دما در ناحیه گرم کننده و انتقال آن به نیمکره مقابل است که در زمان‌های طولانی‌تر از روشن کردن گرم کننده به طور قابل ملاحظه‌ای رشد می‌کند. پریندهای چگالی نیز کاهش چگالی و شکل‌گیری مجرأ (کanal) در ناحیه گرم کننده و افزایش چگالی در نیمکره مقابل را نشان می‌دهند.

۳.۲. اثر توان تابشی بر توزیع چگالی و دمای الکترون
میزان توان تابشی امواج رادیویی یکی از پارامترهای مهم در توزیع چگالی و دمای الکترون است. از این‌رو در این قسمت اثر شدت منبع تابشی بر دما و چگالی الکترون از طریق تغییر پارامتر $\left(\frac{dT_e}{dt}\right)$ که نرخ گرمایش به ازای هر الکترون در

، در نظر گرفته می‌شود. در این بررسی‌ها ارتفاع اولیه گرمایش مقادیر (km) $= 250, 280, 300$ ج. انتخاب شده است. $\theta_0 = 25^\circ$ و $\Delta\theta = 0^\circ$ ، $\Delta z = 40 km$ در نظر گرفته می‌شوند. گرم کننده به مدت ۱ ساعت و در زمان‌های ۱-۲ LT روش شده است و پریندهای توزیع چگالی و دمای الکترون بر حسب ارتفاع و در بازه‌ای از عرض‌های جغرافیایی از محل گرم کننده تا نقاط واقع بر نیمکره مقابل، بررسی شده‌اند.

همان گونه که در شکل ۱ مشاهده می‌شود با افزایش ارتفاع ناحیه جذب انرژی موج، تغییرات قابل ملاحظه‌ای در دمای الکترون مشاهده می‌شود. در ارتفاع اولیه $z = 250 km$ حتی پس از گذشت ۱ ساعت از روشن کردن گرم کننده، هیچ اثر قابل ملاحظه‌ای در پریند دمای الکترون مشاهده نمی‌شود. این در حالی است که با افزایش ارتفاع در $z = 280 km$ پس از گذشت حدود ۸ دقیقه، تغییر هر چند اندک دمای الکترون در

مقادیری ثابت و به ترتیب $q = 3000 k / s$ و $z = 3000 km$ در نظر گرفته شدند. نتایج به دست آمده در شکل ۳ نشان داده شده است. همان گونه که مشاهده می‌شود در عرض جغرافیایی پایین-تر در همان زمان‌های اولیه پس از روشن کردن گرم کننده، اثر افزایش دما در نقطه گرم کننده قابل مشاهده است؛ در حالی که این اثر در عرض بالاتر با تأخیر زمانی ۱۰ دقیقه‌ای روی می‌دهد. از طرف دیگر مقایسه نمودارها نشان می‌دهد که در عرض‌های جغرافیایی بالاتر گرم کننده، افزایش دما در نقطه گرم کننده و اثر آن در نیم‌کره مقابل باشد که مشاهده می‌شود.

۴. نتیجه گیری

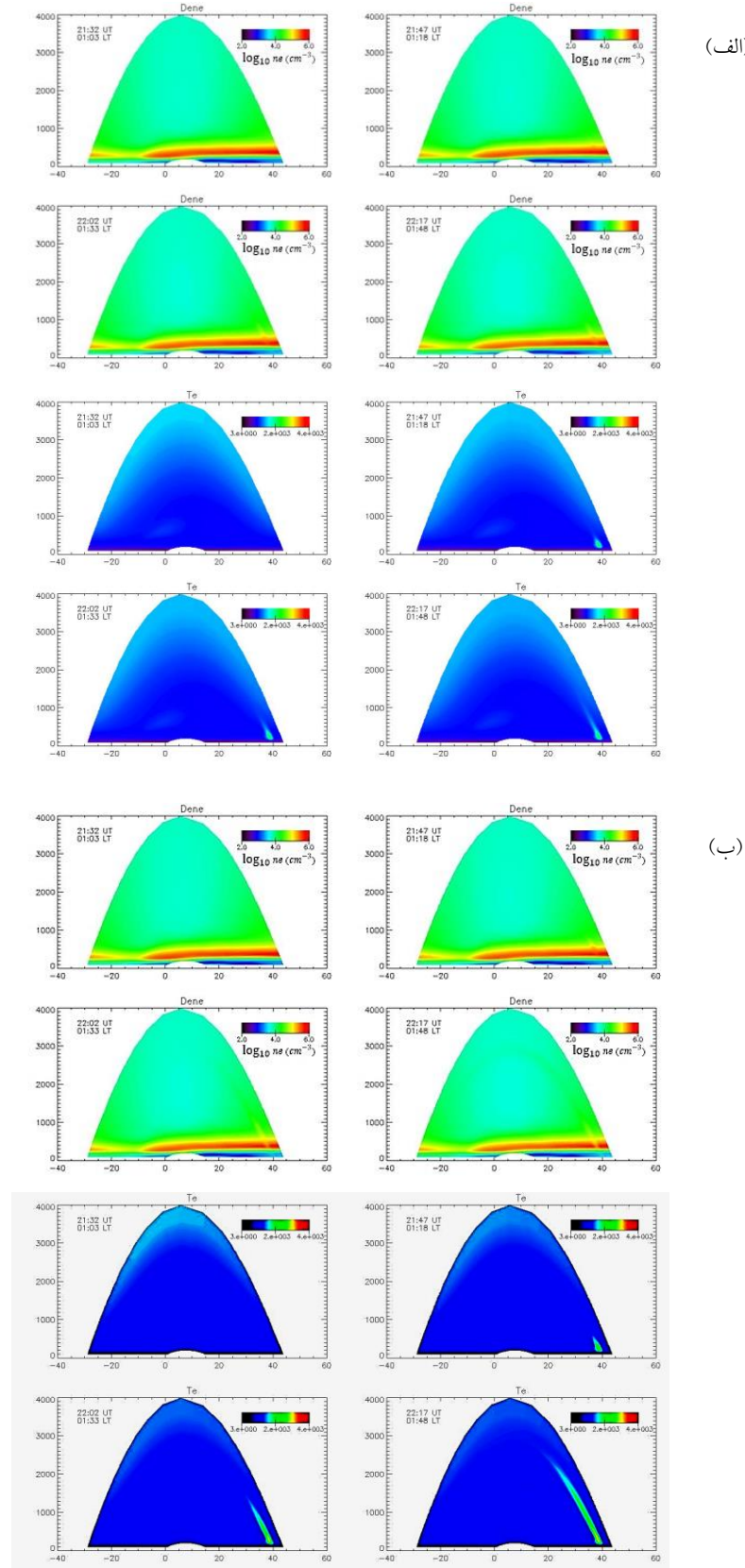
در این مقاله شبیه‌سازی اثرات گرمایش یونسفر ناشی از یک گرم کننده مصنوعی در ناحیه F_2 یونسفر بررسی می‌شود. نتیجه اولیه شبیه سازی‌ها نشان می‌دهد که در اثر گرمایش مصنوعی، یک اختلال در پلاسمای یونسفر می‌تواند ایجاد شود. این اختلالات در چگونگی توزیع چگالی و دمای الکترون در ناحیه گرمایش و انتشار آن در نیم‌کره مقابل روی می‌دهند. ارتفاع گرمایش، شدت منبع تابش و مختصه عرض جغرافیایی گرم کننده به عنوان پارامترهای بررسی در نظر گرفته شدند. با افزایش ارتفاع ناحیه جذب انرژی موج، تغییرات قبل ملاحظه‌ای در دمای الکترون مشاهده می‌شود. این به گونه‌ای است که در یک مختصه معین و به ازای یک شدت منبع ثابت، با افزایش ارتفاع در $z = 280 km$ پس از گذشت حدود ۸ دقیقه، تغییر هر چند اندک دمای الکترون در ناحیه گرمایش در ساعت‌های اولیه پس از روشن کردن گرم کننده قابل مشاهده است. افزایش بیشتر ارتفاع ناحیه گرمایش نشان دهنده افزایش شدت دما در ناحیه گرم کننده و انتقال اثر آن به نیم‌کره مقابل است که در زمان‌های طولانی‌تر به طور قابل ملاحظه‌ای رشد می‌کند. همچنین اثر گرمایش به صورت اختلال در چگالی الکترون در ناحیه گرم کننده و نیم‌کره مقابل مشاهده شد. پربندهای چگالی نشان دهنده کاهش چگالی و شکل‌گیری مجارا (کانال) در ناحیه گرم کننده

موردنطالعه قرار می‌گیرد. نقطه مورد نظر در طول جغرافیایی $E = 51^\circ$ و عرض جغرافیایی $N = 38^\circ$ انتخاب شده است، در حالی که ارتفاع اولیه گرمایش $z = 280 km$ است. بررسی‌ها با حفظ مقادیر مربوط به سایر پارامترها در نرخ‌های گرمایش $\left(\frac{dT_e}{dt}\right) = 3000, 5000 k / s$ انجام می‌شوند. همچنین گرم کننده به مدت ۱ ساعت و در زمان محلی LT-۲ روشن می‌شود.

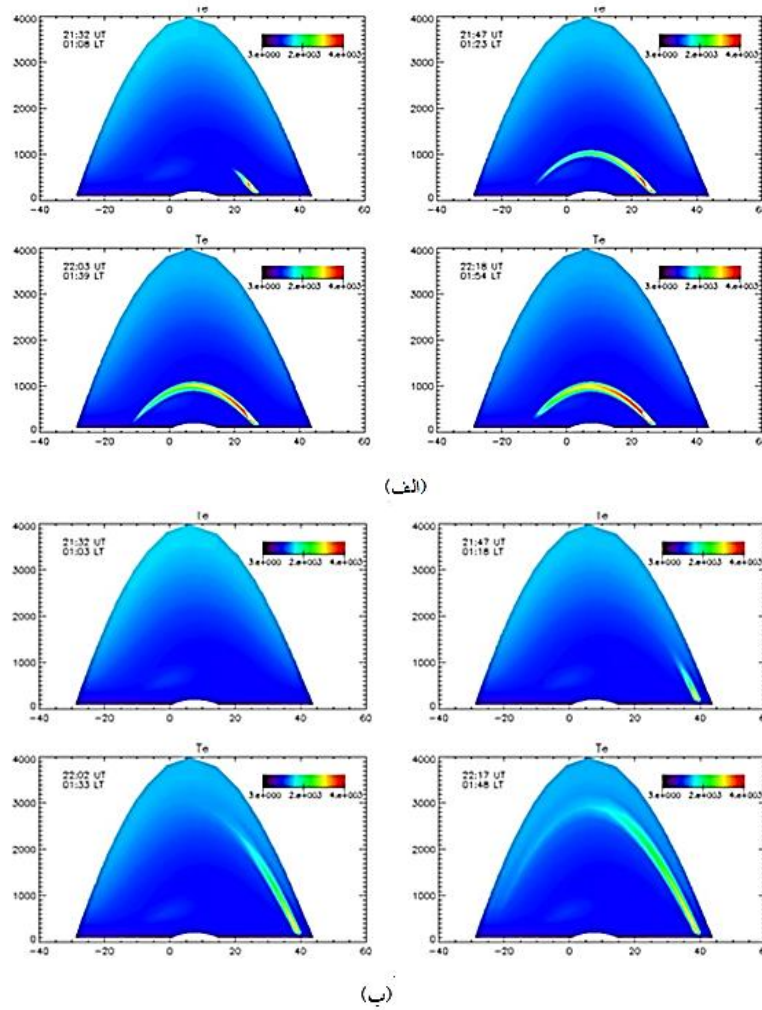
شکل ۲. الف تغییرات دما و چگالی الکترون در نقطه مورد نظر را برای $q = 3000 k / s$ نشان می‌دهد. همان گونه که مشاهده می‌شود دمای الکترون در ناحیه گرم کننده حتی با گذشت زمان نیز افزایش قابل ملاحظه‌ای نمی‌یابد و اثری نیز در نیم‌کره مقلوب قبل مشاهده نیست. با تغییر نرخ گرمایش به $\left(\frac{dT_e}{dt}\right) = 5000 k / s$ تفاوت قابل ملاحظه‌ای در دمای الکترون در ناحیه گرم کننده مشاهده می‌شود. همان گونه که در شکل ۲ ب نشان داده شده است، با افزایش توان ورودی دمای الکترون پس از ۳۰ دقیقه روشن کردن گرم کننده، در ناحیه گرمایش افزایش یافته و با گذشت زمان و در ساعت‌های پایانی پیش از خاموش کردن گرم کننده شدت آن رشد می‌یابد. نکته قابل ذکر این است که حتی با افزایش شدت دما در ساعت‌های پایانی هنوز اثری در نقاط واقع بر نیم‌کره مقابل مشاهده نمی‌شود. بررسی نمودار چگالی الکترون نیز نشان می‌دهد که با افزایش دما در مقطع گرم کننده، چگالی در آن ناحیه دچار اختلال شده و با کاهش مواجه می‌شود و امکان شکل‌گیری مجارا در این ناحیه به وجود می‌آید.

۳. اثر عرض جغرافیایی گرم کننده بر توزیع چگالی و دمای الکترون

در آخرین بررسی انجام شده اثر تغییر عرض جغرافیایی گرم کننده در یک نیم‌کره، بر تغییرات دما و چگالی الکترون در نظر گرفته شد. از این‌رو گرم کننده در مختصات طول جغرافیایی $E = 53^\circ$ و در عرض‌های جغرافیایی $N = 38^\circ$ و 25° در کد وارد شد. در این بررسی ارتفاع اولیه گرمایش و نیز نرخ گرمایش



شکل ۲. کانتورهای تغییرات دما و چگالی الکترون بر حسب عرض جغرافیایی و ارتفاع، برای گرم کننده واقع در عرض جغرافیایی $N 38^\circ$ و طول جغرافیایی $E 51^\circ$ ، ارتفاع اولیه گرمایش $z_0 = 280 \text{ km}$. (الف) $q = 3000 \text{ k/s}$ و (ب) $q = 5000 \text{ k/s}$



شکل ۳. پریند تغییرات دمای الکترون بر حسب عرض جغرافیایی و ارتفاع برای گرم کننده واقع در طول جغرافیایی $E = 53^\circ$ و ارتفاع اولیه $q = 3000$ km و $v = 300$ k/s : (الف) عرض جغرافیایی $N = 25^\circ$ و (ب) $E = 53^\circ$ گرمایش

ساعت پایانی پیش از خاموش کردن گرم کننده، رشد قابل ملاحظه‌ای در شدت آن مشاهده می‌شود. نتایج بررسی‌ها انجام شده نشان می‌دهند که با تغییر مکان گرم کننده در عرض جغرافیایی، چگالی و دمای الکترون با تغییرات قابل توجهی مواجه می‌شوند. در شرایط مورد نظر در مقاله با کاهش عرض جغرافیایی گرم کننده، افزایش دما در نقطه گرمایش و در نقاط متناظر در نیم‌کره مقابل شدت بیشتری می‌یابد.

و افزایش چگالی در نیم‌کره مقابل هستند. اختلالات دما و چگالی الکترون همچنین وابستگی قابل ملاحظه‌ای را به شدت منبع نشان می‌دهند. در شدت‌های پایین، دمای الکترون در ناحیه گرم کننده حتی با گذشت زمان نیز افزایش قابل ملاحظه‌ای نمی‌یابد. این در حالی است که با افزایش توان ورودی دمای الکترون پس از 30° دقیقه روشن کردن گرم کننده، در ناحیه گرمایش افزایش یافته و با گذشت زمان و در

مراجع

1. D J Gorney, *Rev. Geophys.* **28** (1990) 315.
2. J M Forbes, S Bruinsma, and F G Lemoine, *Science* **312** (2006) 1366.

3. U S Inan, T F Bell, and J V Rodriguez, *Geophys Res. Lett.* **18** (1991) 705.
4. A P Nickolaenko and M Hayakawa, *Geophys Res. Lett.* **22** (1995) 3015.
5. Y B Yao, *et al.*, *Chin Sci. Bull.* **57** (2012) 500.
6. T Yu, *et al.*, *Chin Sci. Bull.* **54** (2009) 1080.
7. T Mao, *et al.*, *Chin Sci. Bull.* **55** (2010) 712.
8. J Lastovicka, *J. Atmos. Solar-Ter. Phys.* **68** (2006) 479.
9. J Lastovicka, *Adv. Space Res.* **43** (2009) 1.
10. M Mendillo and J M Forbes, *J. Geophys Res.* **83** (1978) 151.
11. G M Milikh, *et al.*, *Geophys Res. Lett.* **35** (2008) GL034630.
12. L M Duncan, J P Sheerin, and R A Benke, *Phys. Rev. Lett.* **61**, **2** (1988) 239.
13. V V Vas'kov, *et al.*, *Geomagn. Aeron.* **32**, **5** (1992) 698.
14. J D Huba, G Joyce, and J A Fedder, *Geophys. Res. Lett.* **27**, **19** (2000b) 3181.
15. S W Willis and J R Davis, *J. Geophys. Res.* **78** (1973) 5710.
16. M M Shoucri, G J Morales, and J E Maggs, *J. Geophys. Res.* **89** (1984) 2907.
17. R P Perrine, *et al.*, *Radio Sci.* **41** (2006) RS4002.
18. T W Wu, *et al.*, *Geophys. Res. Lett.* **39** (2012) L07103.